

บทความวิจัย

แบบจำลองเลื่อนจริยะระดับจุลภาคด้วยวิธีการยอร์คสำหรับการคำนวณอุณหภูมิกีดกันของชั้นใบอัสแลกเปลี่ยนในหัวอ่านข้อมูล

วราษฎา แดงอ้อ¹ นนทวัฒน์ ทรัพย์กุล¹ พรรณาดี จุรีมาศ¹ และ เจริญ จุรีมาศ^{1*}

ได้รับบทความ: 14 มีนาคม 2563

ได้รับบทความแก้ไข: 7 พฤษภาคม 2563

ยอมรับตีพิมพ์: 30 พฤษภาคม 2563

บทคัดย่อ

งานวิจัยนี้มีวัตถุประสงค์ในการพัฒนาและนำเสนอแบบจำลองโครงสร้างทางแม่เหล็กระดับจุลภาคแบบแกรนูลาร์ของชั้นใบอัสแลกเปลี่ยนที่ประกอบด้วยชั้นวัสดุแอนติเฟอร์โรแมกнетิกเชื่อมติดกับชั้นวัสดุเฟอร์โรแมกเนติกซึ่งเป็นองค์ประกอบหลักภายนอกในหัวอ่านข้อมูลอาร์ดิสก์ไดร์ฟเพื่อทำการคำนวณค่าอุณหภูมิกีดกัน โดยแบบจำลองที่ถูกนำเสนอขึ้นมีจุดมุ่งหมายในการพัฒนาแบบจำลองให้สามารถคำนวณลูปวงปิดอิสเทอเรชีสแบบใหม่ด้วยวิธีการยอร์ค เพื่อประยุกต์ใช้สำหรับการทำนายปริมาณสนามใบอัสแลกเปลี่ยนและค่าอุณหภูมิกีดกันซึ่งนำไปสู่การศึกษาผลของเสถียรภาพทางความร้อนของโครงสร้างชั้นใบอัสแลกเปลี่ยน พลวัตของวัสดุแม่เหล็กแอนติเฟอร์โรแมกเนติกและวัสดุเฟอร์โรแมกเนติกจะถูกอธิบายด้วยวิธีการมอนติคาร์โลเชิงจลน์และสมการ แplanดอร์-ลิฟชิตช์-กิลเบิร์ต ตามลำดับ สำหรับกระบวนการวัดค่าอุณหภูมิกีดกันจะใช้เทคนิคการวัดด้วยวิธีการยอร์คโดยหาค่าอุณหภูมิการวัดซึ่งสามารถกำหนดผลเชิงความร้อนของการระบบเมื่อทำการวัดค่าสนามใบอัสและเคอเออร์ชิวิตี้ โครงสร้างใบอัสแลกเปลี่ยนของวัสดุอิริเดียมแมงกานีสและวัสดุโคงอลต์ไออกอนจะถูกศึกษาในงานวิจัยนี้เนื่องจากเป็นโครงสร้างในหัวอ่านข้อมูลอาร์ดิสก์ไดร์ฟในปัจจุบัน จากผลการศึกษาพบว่าค่าสนามใบอัสแลกเปลี่ยนเนื่องจากผลของความร้อนและค่าอุณหภูมิกีดกันที่ได้จากรูปแบบจำลองให้ผลสอดคล้องกับการทดลอง โดยสามารถคำนวณหาค่าอุณหภูมิกีดกันของโครงสร้างชั้นใบอัสแลกเปลี่ยนอิริเดียมแมงกานีสเชื่อมติดกับวัสดุโคงอลต์ไออกอนที่มีขนาดความหนาของชั้นฟิล์มเท่ากับ 8 นาโนเมตร และ 4 นาโนเมตร ได้เท่ากับ 414 เคลวิน ซึ่งแสดงให้เห็นว่ารูปแบบจำลองที่ถูกนำเสนอเป็นเครื่องมือที่สำคัญในการทำนายผลของสนามใบอัสแลกเปลี่ยนและค่าอุณหภูมิกีดกันและประยุกต์ใช้กับการทดลองได้จริง

คำสำคัญ: ปรากฏการณ์ใบอัสแลกเปลี่ยน วิธีการยอร์ค อุณหภูมิกีดกัน สมการแplanดอร์-ลิฟชิตช์-กิลเบิร์ต วิธีมอนติคาร์โลเชิงจลน์

¹หน่วยวิจัยเทคโนโลยีการบันทึกข้อมูลแม่เหล็ก ภาควิชาพิสิกส์ คณะวิทยาศาสตร์ มหาวิทยาลัยมหาสารคาม

*ผู้นิพนธ์ประสานงาน, e-mail: Jessada.c@msu.ac.th

Realistic Micromagnetic Model by York Protocol for the Calculation of Blocking Temperature of Exchange Bias Layer in Read Element

**Wassana Daeng-am¹, Nonthawat Supkul¹, Phanwadee Chureemart¹
and Jessada Chureemart^{1*}**

Received: 14 March, 2020

Revised: 7 May, 2020

Accepted: 30 May, 2020

ABSTRACT

In this work, we aim to develop and propose a granular micromagnetic model of the exchange bias layer, consisting of coupled antiferromagnetic (AF) and ferromagnetic (FM) layers, which is the main component of read head of hard disk drive. The proposed model is developed following the new procedure of exchange bias measurement called York protocol. It can predict the reproducible value of exchange bias field (H_{EB}) and blocking temperature (T_B) leading to the study of thermal stability of exchange bias system. The dynamics of AF and FM layers is treated by using the kinetic Monte Carlo method and stochastic-Landau-Lifshitz-Gilbert (LLG) equation respectively due to their different magnetic properties. In order to calculate the blocking temperature of the system, the granular model based York protocol is first used to find the measurement temperature at which the thermal activation is removed from the system during the measurement of exchange bias field and coercivity. The IrMn/CoFe exchange bias layers are investigated in this work which is the current materials in real devices. The results show that the values of H_{EB} and T_B from the model are consistent with the experimental work. The calculation of T_B for IrMn/CoFe exchange bias system with the thickness of 8 and 4 nm respectively is 414 Kelvin giving good agreement with experiment. This shows that the proposed model is a significant tool for predicting the reproducible value of H_{EB} and T_B and it is capable for real experiment.

Keywords: exchange bias phenomenon, York protocol, blocking temperature, Landau-Lifshitz-Gilbert equation, Kinetic Monte Carlo method

¹Magnetic information storage technology group, Department of Physics, Faculty of Science, Mahasarakham University

*Corresponding author, email: Jessada.c@msu.ac.th

บทนำ

ฮาร์ดดิสก์ไดร์ฟ (hard disk drive) เป็นหน่วยความจำหลักภายในคอมพิวเตอร์ซึ่งถูกใช้สำหรับการจัดเก็บข้อมูล ฮาร์ดดิสก์ไดร์ฟมีองค์ประกอบหน้ากากที่สำคัญ 3 ส่วน คือ แผ่นบันทึกข้อมูล (recording media) หัวเขียน (write head) และหัวอ่าน (read head) ในปัจจุบันอุปกรณ์ฮาร์ดดิสก์ไดร์ฟได้ถูกออกแบบและพัฒนามาอย่างต่อเนื่องเพื่อที่จะเพิ่มความสามารถในการบันทึกข้อมูล การพัฒนาอุปกรณ์ฮาร์ดดิสก์ไดร์ฟในปัจจุบันนั้นจะมุ่งเน้นความสำคัญในการเพิ่มขนาดพื้นที่ความจุข้อมูล (areal density) และลดขนาดของอุปกรณ์ลงตามความต้องการของผู้บริโภค อย่างไรก็ตาม เมื่ออุปกรณ์มีขนาดเล็กลงจะส่งผลให้เกิดปัญหาด้านเสียงรบกวนความร้อนภายในส่วนประกอบของฮาร์ดดิสก์ไดร์ฟ โดยเฉพาะอย่างยิ่งหัวอ่านข้อมูลที่ทำหน้าที่ในการอ่านข้อมูลจากแผ่นบันทึกข้อมูล ซึ่งเป็นสาเหตุทำให้เกิดความคลาดเคลื่อนในการอ่านข้อมูลจากแผ่นบันทึกข้อมูล สำหรับโครงสร้างของหัวอ่านข้อมูลหรือโครงสร้างสปินวาล์ว (spin-valve structure) จะประกอบด้วยชั้นวัสดุเฟอร์โรแมกнетิก (ferromagnetic material, FM) สองชั้นที่ถูกคั่นกลางด้วยชั้นวัสดุที่ไม่มีความเป็นแม่เหล็กและเชื่อมติดกับวัสดุแอนติเฟอร์โรแมกเนติก (antiferromagnetic material, AF) โดยชั้นวัสดุเฟอร์โรแมกเนติกชั้นแรกที่เชื่อมติดกับวัสดุแอนติเฟอร์โรแมกเนติกจะถูกเรียกว่า ชั้นพิน (pinned layer, PL) ซึ่งแมgnไฟเซ็นในชั้นดังกล่าวถูกยึดทิศทางโดยอาศัยปรากฏการณ์ไบอสแลกเปลี่ยน (exchange bias phenomenon) [1] และถูกใช้เป็นตัวอ้างอิงในการอ่านข้อมูลจากแผ่นบันทึกข้อมูล นอกจากนี้ชั้นวัสดุเฟอร์โรแมกเนติกชั้นที่สองจะถูกเรียกว่า ชั้นอิสระ (free layer, FL) เมื่อจากแมgnไฟเซ็นในชั้นดังกล่าว นี้สามารถเปลี่ยนแปลงทิศทางได้อย่างอิสระตามการเหนี่ยวแน่นทิศทางของแมgnไฟเซ็นในแผ่นบันทึกข้อมูล เพื่อใช้สำหรับกระบวนการอ่านข้อมูล

ปรากฏการณ์ไบอสแลกเปลี่ยนเกิดขึ้นเนื่องจากการนำชั้นวัสดุ FM มาเชื่อมติดกับชั้นวัสดุ AF โดยอาศัยกระบวนการกระตุนทางความร้อน (thermal activation process) [2] และการเหนี่ยวแน่นสามารถแม่เหล็กภายนอกเพื่อทำให้แมgnไฟเซ็นที่บริเวณรอยต่อระหว่างชั้นวัสดุ AF และชั้นวัสดุ FM เกิดการแลกเปลี่ยนอันตรกิริยาระหว่างกัน เมื่อทำการพิจารณาคุณสมบัติทางแม่เหล็กผ่านการวัดถูปวงปิดอิสเทอเรชีส พบว่า ลักษณะของถูปวงปิดอิสเทอเรชีสของชั้นไบอสแลกเปลี่ยนจะมีการเคลื่อนที่ออกจากแกนสมมาตรตามแนวแกนนานาแยมแม่เหล็กภายนอก โดยระยะการเคลื่อนที่ของถูปวงปิดอิสเทอเรชีสที่แสดงถึงการเกิดปรากฏการณ์ไบอสแลกเปลี่ยนจะถูกเรียกว่า ค่าสนามไบอสแลกเปลี่ยน (exchange bias, H_{EB}) ซึ่งนิยามจากจุดที่สนามแม่เหล็กภายนอกมีค่าเป็นศูนย์ ($H = 0$) ถึงจุดกึ่งกลางของถูปวงปิดอิสเทอเรชีสที่เคลื่อนที่ออกจากแนวแกนสมมาตร จากการศึกษาโดยทั่วไปพบว่าค่าสนามไบอสแลกเปลี่ยนจะมีค่าแปรผันกับอุณหภูมิที่ใช้ในการวัดถูปวงปิดอิสเทอเรชีส (measurement temperature, T_{MS}) [1,2] เมื่อจากการเพิ่มขึ้นของอุณหภูมิ T_{MS} จะส่งผลทำให้ถูปวงปิดอิสเทอเรชีสเคลื่อนที่กลับเข้าหากันสมมาตร โดยค่าอุณหภูมิวิกฤตที่ทำให้ค่าสนามไบอสแลกเปลี่ยนมีค่าเป็นศูนย์จะถูกเรียกว่า ค่าอุณหภูมิกีดกัน (blocking temperature, T_B) กล่าวคือ $H_{EB} (T_{MS} = T_B) = 0$ [3] โดยทั่วไปแล้วค่าอุณหภูมิกีดกันดังกล่าวจะถูกนำมาใช้ในการพิจารณาเสถียรภาพทางความร้อน (thermal stability) [4] ของชั้นไบอสแลกเปลี่ยนภายในโครงสร้างหัวอ่านข้อมูลนั้นเอง

การวัดผลของอุณหภูมิกีดกันด้วยวิธีการวัดแบบดั้งเดิม (conventional measurement procedure) [2] สามารถทำได้โดยการวัดลูปวงปิดอิสเทอร์เรชีสและค่าความต้านทาน H_{EB} ที่แต่ละอุณหภูมิ T_{MS} เพื่อพิจารณาหาค่าอุณหภูมิที่ทำให้ค่า $H_{EB} = 0$ อย่างไรก็ตาม การวัดลูปวงปิดอิสเทอร์เรชีสด้วยวิธีการดังกล่าวนี้จะทำให้เกิดความคลาดเคลื่อนในการพิจารณาหาค่า T_B เนื่องจากผลของอุณหภูมิที่รบกวนระบบในขณะที่ทำการคำนวณลูปวงปิดอิสเทอร์เรชีสทำให้ไม่สามารถทำการวัดลูปวงปิดอิสเทอร์เรชีสและค่าสนามใบอัลแลกเปลี่ยนซ้ำเดิมได้ (non-reproducible exchange bias) จากข้อจำกัดดังกล่าว L.E. Fernandez-Ooton และคณะ [5] จึงได้นำเสนอเทคนิคในการวัดลูปวงปิดอิสเทอร์เรชีสรูปแบบใหม่ที่สามารถกำจัดผลของอุณหภูมิที่รบกวนระบบขณะทำการคำนวณลูปวงปิดอิสเทอร์เรชีส (thermal free measurement) ซึ่งลูกเริยกว่า วิธีการยอร์ค (York protocol) ซึ่งช่วยให้สามารถวัดลูปวงปิดอิสเทอร์เรชีส ค่า H_{EB} และ T_B ได้เท่าเดิมทุกครั้งที่ทำการวัดซ้ำ (reproducible exchange bias) แม้ว่าจะทำการวัดลูปวงปิดอิสเทอร์เรชีสจำนวนหลายครั้ง การทราบลึกลับของปริมาณ H_{EB} และ T_B โดยอาศัยวิธีการวัดลูปวงปิดอิสเทอร์เรชีสด้วยวิธีการยอร์คจะช่วยให้สามารถทำการคำนวณสมบัติทางแม่เหล็กพื้นฐานของวัสดุแม่เหล็กได้โดยเฉพาะอย่างยิ่งในส่วนของความสามารถในการทนต่อความร้อนหรือเสถียรภาพทางความร้อนของโครงสร้างวัสดุแม่เหล็กเพื่อให้สามารถนำไปประยุกต์ใช้ในโครงสร้างหัวอ่านข้อมูลจริงได้ อย่างไรก็ตาม การศึกษาในเชิงการทดลองในการวัดค่าอุณหภูมิกีดกันพบว่าจะต้องใช้ต้นทุนในการผลิตที่ค่อนข้างสูงและใช้ระยะเวลาในการสร้างตัวอย่างชิ้นงานที่ค่อนข้างยาวนาน ด้วยเหตุนี้จึงได้มีการนำเสนอวิธีการจำลองเชิงตัวเลข (numerical simulation) โดยใช้แบบจำลองทางทฤษฎีอย่างง่าย (simple theoretical model) ที่มีลักษณะเป็นแบบจำลองระดับจุลภาคแบบกรานูลาร์ (granular micromagnetic model) [3,6] ของโครงสร้างชั้นใบอัลแลกเปลี่ยนตามวิธีการยอร์คเพื่อใช้เป็นแนวทางสำหรับการคำนวณลูปวงปิดอิสเทอร์เรชีสและทำนายปริมาณ H_{EB} และ T_B ของโครงสร้างชั้นใบอัลแลกเปลี่ยนเพื่อเป็นแนวทางในการทดลองซึ่งช่วยลดต้นทุนและระยะเวลาในการผลิตตัวอย่างชิ้นงานเพื่อใช้ในการศึกษา

แม้ว่าแบบจำลองในระดับจุลภาคอย่างง่ายล้าหัวชั้นใบอัลแลกเปลี่ยนที่ถูกนำเสนอนั้นจะสามารถทำนายปริมาณ H_{EB} และ T_B ของโครงสร้างชั้นใบอัลแลกเปลี่ยนได้สอดคล้องกับผลการทดลอง อย่างไรก็ตาม แบบจำลองดังกล่าวมีข้อจำกัดในการพิจารณาผลของอันตรกิริยาระหว่างเกรนแม่เหล็กที่สำคัญซึ่งเกิดขึ้นในระบบวัสดุแม่เหล็กจริง ได้แก่ ค่าสนามแม่เหล็กคู่ชี้วากายในชั้น FM และค่าสนามแลกเปลี่ยนระหว่างเกรนแม่เหล็กภายในชั้น FM เป็นต้น นอกจากนี้ ยังพบว่าแบบจำลองดังกล่าวขาดความสมேือนจริงในการคำนวณ เนื่องจากผลการพิจารณากระบวนการกำหนดทิศทางของแมgnetiไฟเซ็น (setting process) [7] ซึ่งเป็นหนึ่งในขั้นตอนสำคัญสำหรับการคำนวณลูปวงปิดอิสเทอร์เรชีสด้วยวิธีการยอร์ค ดังนั้น ในงานวิจัยนี้จึงได้ทำการพัฒนาและนำเสนอแบบจำลองแกรนูลาร์เลมิอนจิที่รวมผลของค่าอันตรกิริยาทางแม่เหล็กเพื่อใช้สำหรับการจำลองขั้นตอนการคำนวณลูปวงปิดอิสเทอร์เรชีสของโครงสร้างชั้นใบอัลแลกเปลี่ยนให้มีความสอดคล้องตามวิธีการยอร์คอย่างถูกต้องและครบถ้วนโดยการพิจารณากระบวนการกำหนดทิศทางของแมgnetiไฟเซ็นร่วมด้วย ทั้งนี้เพื่อนำไปประยุกต์ใช้ในการทำนายปริมาณ H_{EB} และ T_B ของโครงสร้างชั้นใบอัลแลกเปลี่ยนที่มีความถูกต้องได้ซึ่งจะนำไปสู่การพิจารณาเสถียรภาพทางความร้อนของปรากฏการณ์ใบอัลแลกเปลี่ยนภายในโครงสร้างหัวอ่านข้อมูลอาร์ดดิสฟ์ไดร์ฟ โดยในปัจจุบันพบว่าอุณหภูมิความร้อนที่สามารถเกิดขึ้นได้ภายในโครงสร้างหัวอ่านข้อมูลอาร์ดดิสฟ์ไดร์ฟในขณะที่มีการทำงานนั้นจะมีค่า

ประมาณ 400 เคลวิน [2] ดังนั้นค่า T_B ของชั้นใบอัลแลกเปลี่ยนซึ่งสามารถแปลงได้ชั้นอยู่กับปริมาณของเกณฑ์เหล็ก AF [2,4,5] ความค่าสูงกว่า 400 เคลวิน เพื่อให้หัวอ่านข้อมูลสามารถทำงานได้อย่างมีประสิทธิภาพ

อุปกรณ์และวิธีทดลอง

งานวิจัยนี้ได้นำเสนอแบบจำลองแกรนูลาร์ในระดับจุลภาคเล่มอนจริงสำหรับชั้นใบอัลแลกเปลี่ยนตามวิธีการยอร์คเพื่อใช้สำหรับการคำนวณลูปปิงปิดอิสเทอร์รีซีส์ที่สามารถปรับเปลี่ยน H_{EB} และ T_B ของโครงสร้างชั้นใบอัลแลกเปลี่ยนภายใต้โครงสร้างหัวอ่านข้อมูล โครงสร้างของชั้นใบอัลแลกเปลี่ยนที่ประกอบด้วยชั้นวัสดุ AF และชั้นวัสดุ FM ซึ่งจะประกอบไปด้วยเกณฑ์เหล็กจำนวนมากจะถูกจำลองขึ้นโดยอาศัยโปรแกรมจำลองโครงสร้างโวโรโนย (Voronoi construction) ซึ่งช่วยให้สามารถกำหนดตัวแปรควบคุม (input parameters) ของการจำลองโครงสร้างวัสดุแม่เหล็กเสมือนจริงได้ แบบจำลองที่ถูกพัฒนาขึ้นในงานวิจัยนี้ได้อาศัยเทคนิควิธีการที่แตกต่างกันสำหรับการอธิบายคุณสมบัติทางแม่เหล็กที่มีความแตกต่างกันของวัสดุแต่ละประเภท โดยเฉพาะอย่างยิ่งระยะเวลา (timescale) ที่แมgnีไฟเซ็นภายในวัสดุแต่ละประเภทใช้สำหรับกระบวนการกลับทิศทาง ดังนั้นในงานวิจัยนี้จึงได้เลือกใช้เทคนิค蒙ติคาร์โลเชิงจลน์ (kinetic Monte Carlo) สำหรับการพิจารณาลักษณะการผันกลับทิศทางของแมgnีไฟเซ็นของชั้น AF ในระยะยาว และเลือกใช้สมการແلنดอร์-ลิฟท์ชิต-กิลเบิร์ต (Landau–Lifshitz–Gilbert equation) หรือสมการ LLG สำหรับการคำนวณพลวัตของแมgnีไฟเซ็นภายในชั้น FM การประยุกต์ใช้เทคนิคการคำนวณทั้งสองรูปแบบร่วมกันจะนำไปสู่การศึกษาคุณสมบัติทางแม่เหล็กของโครงสร้างชั้นใบอัลแลกเปลี่ยนผ่านการคำนวณลูปปิงปิดอิสเทอร์รีซีส (hysteresis loop) ในลำดับสุดท้ายจะได้ทำการคำนวณค่า H_{EB} จากลักษณะการเคลื่อนที่ของลูปปิงปิดอิสเทอร์รีซีสออกจากแกนสมมาตรในลักษณะฟังก์ชันของค่าอุณหภูมิใดๆ ที่ต้องการศึกษาหรืออุณหภูมิการกระตุน (activation temperature, T_{ACT}) เพื่อนำไปใช้สำหรับการพิจารณาหาค่า T_B ตามลำดับ การคำนวณของแบบจำลองแกรนูลาร์ในระดับจุลภาคเล่มอนจริงสำหรับชั้นใบอัลแลกเปลี่ยนตามวิธีการยอร์คมีรายละเอียดดังต่อไปนี้

แบบจำลองแกรนูลาร์สำหรับชั้นใบอัลแลกเปลี่ยน

การศึกษาพฤติกรรมการผันกลับทิศทางของแมgnีไฟเซ็นในชั้น AF โดยอาศัยเทคนิคmonticar์โลเชิงจลน์จะเริ่มจากการคำนวณค่าพลังงานกีดกันทางแม่เหล็กของเกณฑ์เฟอร์โรแมgnenetิก (energy barrier of AF grain, E_{AF}) ที่ใช้เพื่อป้องกันการผันกลับทิศทางของแมgnีไฟเซ็น ค่าพลังงานกีดกันทางแม่เหล็กของเกณฑ์ AF แต่ละเกณฑ์จะถูกอธิบายอยู่ในรูปของค่าพลังงานอิสระตามรูปแบบสมการพลังงานของสโตนเนอร์-วอล์ฟาร์ท (Stoner–Wohlfarth energy equation) [8] ซึ่งเป็นผลรวมของค่าพลังงานแอนไโซโทปีของชั้นวัสดุแอนติเฟอร์โรแมgnenetิก (AF anisotropy energy) ที่แมgnีไฟเซ็นใช้สำหรับการรักษาทิศทางให้อยู่ในทิศแgnง่าย (easy axis, e) และค่าพลังงานสนานแม่เหล็กระหว่างชั้นวัสดุ (exchange interlayer energy) ที่แมgnีไฟเซ็นภายในเกณฑ์เฟอร์โรแมgnenetิกของแรงกระทำต่อแมgnีไฟเซ็นภายในเกณฑ์เฟอร์โรแมgnenetิก ดังสมการ

$$E_{AF} = -adK_{AF}(e \cdot m_{AF}) - J_S acm_{FM} \cdot m_{AF} \quad (1)$$

- เมื่อ a คือพื้นที่หน้าตัดของเกรนแม่เหล็ก
 d คือความหนาของชั้นฟิล์มแอนติเฟอร์โรแมกเนติก
 K_{AF} คือค่าคงที่แอนໄโอโซโตรปของชั้นแอนติเฟอร์โรแมกเนติก
 J_S คือค่าคงที่การแลกเปลี่ยนบริเวณพิวัสดุ (interfacial exchange constant)
 c คือค่าแฟคเตอร์ที่ใช้แสดงถึงการเชื่อมติดกันของเกรนแม่เหล็กแต่ละเกรนระหว่างชั้นวัสดุ (contact fraction)
 m_{FM} คือเวกเตอร์หนึ่งที่มีทิศทางของแมgnีไฟเซ็นของชั้น FM
 m_{AF} คือเวกเตอร์หนึ่งที่มีทิศทางของแมgnีไฟเซ็นของชั้น AF

ในการพิจารณากระบวนการผันกลับทิศทางของแมgnีไฟเซ็นในชั้น AF จะสามารถเกิดขึ้นได้เมื่อพลังงานความร้อนของระบบมีค่าสูงกว่าค่าพลังงานกีดกันในช่วงระยะเวลาการคลายตัวของแมgnีไฟเซ็น (relaxation time, τ) ตามกฎของอาร์เรห์นเนียส-นีลส์ (Arrhenius-Néel law) [9] ดังสมการ

$$\tau^{-1} = f_0 \exp \left[-\frac{E_{AF}}{k_B T} \right] \quad (2)$$

เมื่อ f_0 คือค่าคงที่การสั่น (frequency factor) k_B คือค่าคงที่ของโบลซ์มาน (Boltzmann's constant) และ T คืออุณหภูมิของระบบ โดยค่าพลังงานกีดกันทางแม่เหล็กต่ำที่สุดที่เกรนแม่เหล็ก AF ใช้สำหรับการป้องกันการกลับทิศทางเนื่องจากอิทธิพลของความร้อนหรือประกายการณ์ซูเปอร์พาราแมกเนติกภายในระยะเวลาการคลายตัวเท่ากับ 100 s ด้วยค่าคงที่ในการสั่น $f_0 = 10^9$ Hz [10] จะต้องมีค่าเท่ากับ $E_{AF} = 25k_B T$

สำหรับการพิจารณาค่าพลังงานกีดกันทางแม่เหล็กในการณ์ที่กีดกันทางแมgnีไฟเซ็นในชั้น แอนติเฟอร์โรแมกเนติก e กระทำมุมใดๆ กับทิศทางของสนามแม่เหล็กรวมที่กระทำต่อชั้นแอนติเฟอร์โรแมกเนติก H_T^{AF} กล่าวคือ $\theta_H \neq 0$ พนวจจะไม่สามารถทำการคำนวณปริมาณพลังงานกีดกันทางแม่เหล็กของเกรนแม่เหล็กในชั้น AF ได้โดยตรงเนื่องจากความซับซ้อนในการคำนวณ ดังนั้นจึงได้ประยุกต์ใช้วิธีการประมาณเชิงตัวเลข [11] สำหรับการพิจารณาค่าพลังงานกีดกันทางแม่เหล็กของเกรนแม่เหล็ก AF ที่เป็นฟังก์ชันของค่าสนามแม่เหล็กรวมที่กระทำต่อชั้น แอนติเฟอร์โรแมกเนติก H_T^{AF} และมุม θ_H แสดงดังสมการ

$$E_{AF}(H_T^{AF}, \theta_H) = KV \left[1 - \frac{|H_T^{AF}|}{g(\theta_H)} \right]^{\kappa(\theta_H)} \quad (3)$$

เมื่อ $g(\theta_H) = [\cos^{2/3} \theta_H + \sin^{2/3} \theta_H]^{-3/2}$ และ $\kappa(\theta_H) = 0.86 + 1.14g(\theta_H)$ เป็นรูปแบบการคำนวณเชิงตัวเลขที่ถูกนำมาประยุกต์ใช้สำหรับการพิจารณาค่าพลังงานกีดกันทางแม่เหล็กในการณ์ที่ $\theta_H \neq 0$ [12] สำหรับค่าพลังงานกีดกันทางแม่เหล็กที่สามารถคำนวณได้จากสมการ (3) จะถูกนำมาใช้สำหรับการพิจารณาระยะเวลาการคลายตัวของแมgnีไฟเซ็นที่แต่ละสถานะพลังงานแสดงตั้งสมการ

$$\tau^{-1}(H_T^{AF}, \theta_H) = f_0 \exp \left[\frac{-E_{AF}(H_T^{AF}, \theta_H)}{k_B T} \right] \quad (4)$$

เมื่อ $E_{AF}(H_T^{AF}, \theta_H)$ คือ ค่าพลังงานกีดกันทางแม่เหล็กรวมที่ต้องใช้สำหรับการกลับทิศทางของแมgnีไฟเซ็น และ θ_H คือมุ่งระหว่างทิศแกนง่าย e และทิศทางของสนามแม่เหล็กรวมที่กระทำต่อชั้นแอนติเฟอร์โรแมกнетิก H_T^{AF} ภายหลังจากนั้นผลรวมของระยะเวลาการคลายตัวของแมgnีไฟเซ็นของระบบที่มีอัตราการเปลี่ยนแปลงระหว่างสถานะที่มีพลังงานต่ำที่สุดสองสถานะ กล่าวคือ $\tau^{-1} = \tau_{12}^{-1} + \tau_{21}^{-1}$ จะถูกคำนวณเพื่อที่จะได้นำไปใช้สำหรับการพิจารณาโอกาสในการผันกลับทิศทางของแมgnีไฟเซ็นภายในชั้น AF ดังสมการ

$$P_t = (1 - e^{-t_m/\tau}) \quad (5)$$

เมื่อ t_m คือระยะเวลาที่ใช้ในการวัดการเปลี่ยนแปลงชั้นในงานวิจัยนี้ได้กำหนดให้มีค่าเท่ากับ 10^{-8} s [12] จากนั้นทำการเปรียบเทียบค่าโอกาสในการเปลี่ยนสถานะ P_t กับตัวเลขสุ่ม x ที่ถูกกำหนดให้มีค่าระหว่าง $0 < x < 1$ ถ้าค่าโอกาสการเปลี่ยนสถานะมีค่ามากกว่าตัวเลขสุ่ม $P_t > x$ แมgnีไฟเซ็นจะสามารถกลับทิศทางได้ แต่ถ้า $P_t < x$ แมgnีไฟเซ็นในระบบจะไม่สามารถผันกลับทิศทางได้ ซึ่งในกรณีนี้จะต้องทำการพิจารณาค่าพลังงานกีดกันทางแม่เหล็กของแมgnีไฟเซ็นอีกครั้งจนกว่าจะเป็นไปตามเงื่อนไขที่กำหนดและวิธีการคำนวณในลักษณะนี้จะดำเนินไป慢กว่ากรณีเปลี่ยนแม่เหล็ก AF ทุกกรณีภายในระบบสามารถผันกลับทิศทางได้อย่างสมบูรณ์ โดยผลกระทบของแมgnีไฟเซ็นภายในชั้น AF จะมีค่าเท่ากับผลเฉลี่ยของแมgnีไฟเซ็นของกรณีเปลี่ยนแม่เหล็ก AF ทุกกรณีภายในระบบ

สำหรับการคำนวณพลวัตของแมgnีไฟเซ็นในชั้น FM สามารถทำได้โดยการประยุกต์ใช้สมการ LLG ซึ่งเป็นสมการที่ถูกนำมาใช้ในการอธิบายการเคลื่อนที่ของแมgnีไฟเซ็นที่เวลาใดๆ เนื่องจากแรงบิดหรือหอรักที่สถานะแม่เหล็กประลิทธิผลกระทำต่อแมgnีไฟเซ็นภายในกรณีเปลี่ยนแม่เหล็ก FM ซึ่งก่อให้เกิดการเปลี่ยนแปลงทิศทางของแมgnีไฟเซ็นแบบหมุนวนเข้าสู่สถานะแม่เหล็กประลิทธิผลแสดงดังรูปที่ 2 สมการ LLG มีรูปแบบสมการดังนี้

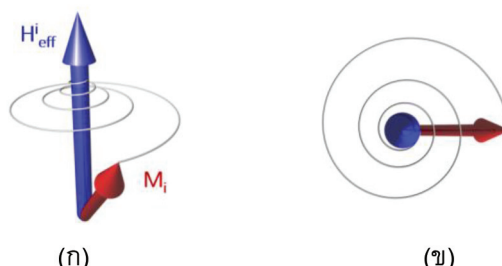
$$\frac{\partial \mathbf{M}_i}{\partial t} = -\frac{\gamma}{(1+\alpha^2)} \mathbf{M}_i \times \mathbf{H}_{eff}^i - \frac{\gamma\alpha}{(1+\alpha^2)} [\mathbf{M}_i \times (\mathbf{M}_i \times \mathbf{H}_{eff}^i)] \quad (6)$$

เมื่อ \mathbf{M}_i คือเวกเตอร์หนึ่งที่อยู่ของแมgnีไฟเซ็นในชั้น FM ที่พิจารณา

γ คือค่าสัมบูรณ์อัตราส่วนใจร率แมกเนติก (absolute gyromagnetic ratio)

α คือค่าคงที่ของการหน่วง (damping constant)

\mathbf{H}_{eff}^i คือสนามแม่เหล็กประลิทธิผลที่กระทำต่อแมgnีไฟเซ็นภายในกรณีเปลี่ยนแม่เหล็ก FM ที่ถูกพิจารณา



รูปที่ 2 การเคลื่อนที่ของแมgnีไฟเซ็นแบบหมุนวนเข้าสู่สถานะแม่เหล็กประลิทธิผล (g) ภาพด้านข้างและ (x) ภาพด้านบน

สสนามแม่เหล็กประลิทิผลที่เกิดขึ้นภายในระบบเป็นผลรวมของค่าสนามแอนไอโซโทรีปี (anisotropy field, H_{anis}^i) ค่าสนามแลกเปลี่ยนระหว่างเกรนแม่เหล็ก (exchange field between grains, H_{exch}^{ij}) ค่าสนามแม่เหล็กภายนอก (applied magnetic field, H_{app}) และค่าสนามความร้อน (thermal field, H_{th}^i) นอกจากนี้การพิจารณาค่าสนามแม่เหล็กรวมในชั้น FM ที่เชื่อมติดกับชั้น AF จำเป็นจะต้องคิดผลของค่าสนามแลกเปลี่ยนระหว่างชั้นวัสดุที่แมgnite/ไฟเซ็นในชั้น AF ออกแรงกระทำต่อแมgnite/ไฟเซ็นในชั้น FM (exchange interlayer field on FM layer, $H_{\text{exch}}^{\text{FM-AF}}$) ร่วมด้วยเพื่อให้สามารถคำนวณผลของปรากฏการณ์ในอัลลัสแลกเปลี่ยนได้โดยรายละเอียดการคำนวณปริมาณสนามแม่เหล็กแต่ละประเภทถูกอธิบายไว้ในข้างต้น [12] ดังนั้นจึงสามารถใช้คำนวณแม่เหล็กประลิทิผลที่กระทำกับชั้น FM ที่เชื่อมติดกับชั้น AF ได้ดังนี้

$$H_{\text{eff}}^i = H_{\text{anis}}^i + H_{\text{exch}}^{ij} + H_{\text{app}}^i + H_{\text{th}}^i + H_{\text{exch}}^{\text{FM-AF}} \quad (7)$$

การคำนวณพลวัตของแมgnite/ไฟเซ็นในชั้น AF และชั้น FM ด้วยวิธีการมอนติคาร์โลและสมการ LLG ทำให้สามารถคำนวณคุณปูงปิดอิสเทอร์เรชีสของโครงสร้างชั้นในอัลลัสแลกเปลี่ยนได้ สำหรับการคำนวณคุณปูงปิดอิสเทอร์เรชีสของโครงสร้างชั้นในอัลลัสแลกเปลี่ยนตามวิธีการยอร์คสามารถแบ่งออกเป็น 2 ชั้นตอนหลัก คือ ขั้นตอนการพิจารณาหาค่าอุณหภูมิที่ไม่มีผลทางความร้อนเข้ามาเกี่ยวข้อง (non-activation temperature, T_{NA}) และขั้นตอนการวัดคุณปูงปิดอิสเทอร์เรชีสของโครงสร้างชั้นในอัลลัสแลกเปลี่ยนที่แต่ละค่าอุณหภูมิการกระตุ้น (activation temperature, T_{ACT}) [2] ที่ต้องการพิจารณาซึ่งจะนำไปสู่การคำนวณปริมาณ H_{EB} และ T_B ของโครงสร้างชั้นในอัลลัสแลกเปลี่ยน สำหรับขั้นตอนการพิจารณาหาค่า T_{NA} สามารถสรุปได้ดังนี้

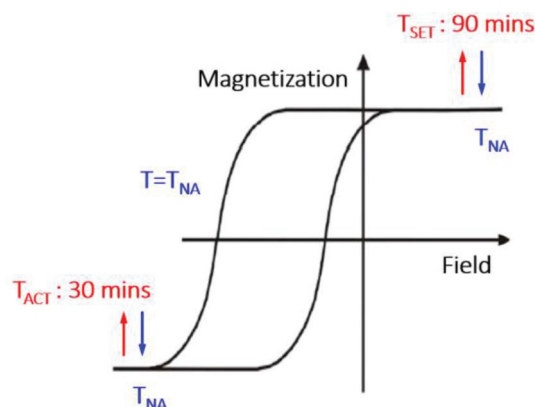
1. ให้ความร้อนต่อชั้นในอัลลัสแลกเปลี่ยนด้วยอุณหภูมิการกำหนดทิศทาง (setting temperature, T_{SET}) ในขณะที่มีการป้อนสนามแม่เหล็กภายนอกในทิศทางบวก $+H$ เป็นเวลา 90 นาที
2. ลดอุณหภูมิของระบบให้มีค่าเท่ากับอุณหภูมิ T ใดๆ ในขณะที่มีการให้สนามแม่เหล็กภายนอกในทิศทางบวก $+H$
3. เมื่ออุณหภูมิของระบบมีค่าเท่ากับ T จึงทำการป้อนสนามแม่เหล็กในทิศทางลง $-H$ เป็นเวลา 1 นาที และเริ่มทำการวัดคุณปูงปิดอิสเทอร์เรชีสสูปที่หนึ่ง

4. ทำซ้ำขั้นตอนที่ 1-2 แล้วจึงทำการให้สนามแม่เหล็กในทิศทางลง $-H$ เป็นเวลา 30 นาที และเริ่มทำการวัดคุณปูงปิดอิสเทอร์เรชีสสูปที่สอง

5. หากคุณปูงปิดอิสเทอร์เรชีสสูปที่หนึ่งและสูปที่สองยังไม่เกิดการซ้อนทับกันให้ทำการวัดคุณปูงปิดอิสเทอร์เรชีสสูปที่หนึ่งในช่วงอุณหภูมิ T ใดๆ ที่มีค่าลดต่ำลงและทำซ้ำกระบวนการเดิม (trial and error) จนกระทั่งสูปที่หนึ่งและสูปที่สองเกิดการซ้อนทับกัน

เมื่อได้ก็ตามที่คุณปูงปิดอิสเทอร์เรชีสสูปที่หนึ่งและสูปที่สองซ้อนทับกันจะสามารถพิจารณาได้ว่า อุณหภูมิที่ทำให้คุณปูงปิดอิสเทอร์เรชีสสูปที่หนึ่งและสูปที่สองซ้อนทับกันได้คือ T_{NA} ที่ไม่มีผลกระทบของความร้อนภายนอกเข้ามาเกี่ยวข้อง โดยอุณหภูมิ T_{NA} ดังกล่าวจะถูกใช้สำหรับการวัดคุณปูงปิดอิสเทอร์เรชีสในลำดับถัดไป สำหรับรายละเอียดการวัดคุณปูงปิดอิสเทอร์เรชีสของโครงสร้างชั้นในอัลลัสแลกเปลี่ยน ณ อุณหภูมิที่ต้องการศึกษา สามารถสรุปขั้นตอนได้ดังนี้

1. ให้ความร้อนต่อชั้นใบอัลลอยด์แลกเปลี่ยนด้วยอุณหภูมิ T_{SET} ในขณะที่มีการป้อนสนามแม่เหล็กภายนอกในทิศทางบวก $+H$ เป็นเวลา 90 นาที
2. ลดอุณหภูมิของระบบให้มีค่าเท่ากับอุณหภูมิ T_{NA} ที่พิจารณาได้ก่อนหน้านี้
3. ป้อนสนามแม่เหล็กภายนอกในทิศทางลบ $-H$ เป็นเวลา 1 นาที และเริ่มทำการวัดลูปวงปิด อิสเทอร์รีซีสลูป
4. เพิ่มอุณหภูมิที่ต้องการพิจารณาซึ่งถูกเรียกว่า อุณหภูมิที่มีการกระตุ้น T_{ACT} เป็นระยะเวลา 30 นาที
5. ลดอุณหภูมิของระบบให้กลับเข้าสู่ T_{NA} อีกครั้งและเริ่มทำการวัดลูปวงปิดอิสเทอร์รีซีสที่ไม่มีผลการกระตุ้นทางความร้อนอีกครั้งจนเกิดเป็นลูปวงปิดอิสเทอร์รีซีสแสดงดังรูปที่ 3



รูปที่ 3 ขั้นตอนการวัดลูปวงปิดอิสเทอร์รีซีสของชั้นใบอัลลอยด์แลกเปลี่ยนด้วยวิธีการยอร์ค [2]

การวัดลูปวงปิดอิสเทอร์รีซีสตามวิธีการยอร์คพบว่าแมgnetiไฟเซ็นในชั้น AF จะไม่ได้รับผลกระทบจากการกระตุ้นทางความร้อน (AF free of thermal activation) ดังนั้นจึงทำให้สามารถพิจารณาค่า H_{EB} ที่แน่นอนของระบบโดยรังสีวัสดุแม่เหล็กสองชั้นได้ แม้ว่าจะมีการวัดลูปวงปิดอิสเทอร์รีซีสชั้นอีกหลายครั้ง เมื่อสามารถคำนวณลูปวงปิดอิสเทอร์รีซีสของโครงสร้างชั้นใบอัลลอยด์แลกเปลี่ยนที่แต่ละค่าอุณหภูมิ T_{ACT} ตามวิธีการยอร์คได้จะทำให้สามารถคำนวณค่าสนามใบอัลลอยด์แลกเปลี่ยน H_{EB} จากลักษณะการเคลื่อนที่ของลูปวงปิดอิสเทอร์รีซีสออกจากแกนสมมาตรในลักษณะฟังก์ชันของค่าอุณหภูมิ T_{ACT} และนำไปสู่การพิจารณาหาค่าอุณหภูมิกีดกัน T_B ได้ ตามลำดับ โดยผลการศึกษาจะถูกอธิบายถึงรายละเอียดในหัวข้อถัดไป

ผลการทดลอง

การศึกษาปรากฏการณ์ใบอัลแลกเปลี่ยนและเสถียรภาพทางความร้อนของชั้นใบอัลแลกเปลี่ยนในงานวิจัยนี้ได้อาดีติรูปแบบจำลองระดับจุลภาคเสมือนจริงตามวิธีการยกเว้นที่ถูกพัฒนาขึ้น การประยุกต์ใช้แบบจำลองระดับจุลภาคเสมือนจริงตามวิธีการยกเว้นเพื่อศึกษาปรากฏการณ์ใบอัลแลกเปลี่ยนภายในโครงสร้างหัวอ่านข้อมูลจะเริ่มจากการจำลองโครงสร้างวัสดุสองชั้นที่ประกอบด้วยชั้นวัสดุ AF และชั้นวัสดุ FM เชื่อมติดกันโดยอาศัยโปรแกรมจำลองโครงสร้างโวโนรอนอย ซึ่งมีค่าพารามิเตอร์ทางโครงสร้างแสดงดังตารางที่ 1

ตารางที่ 1 ค่าพารามิเตอร์ทางโครงสร้างของชั้นวัสดุ AF และชั้นวัสดุ FM

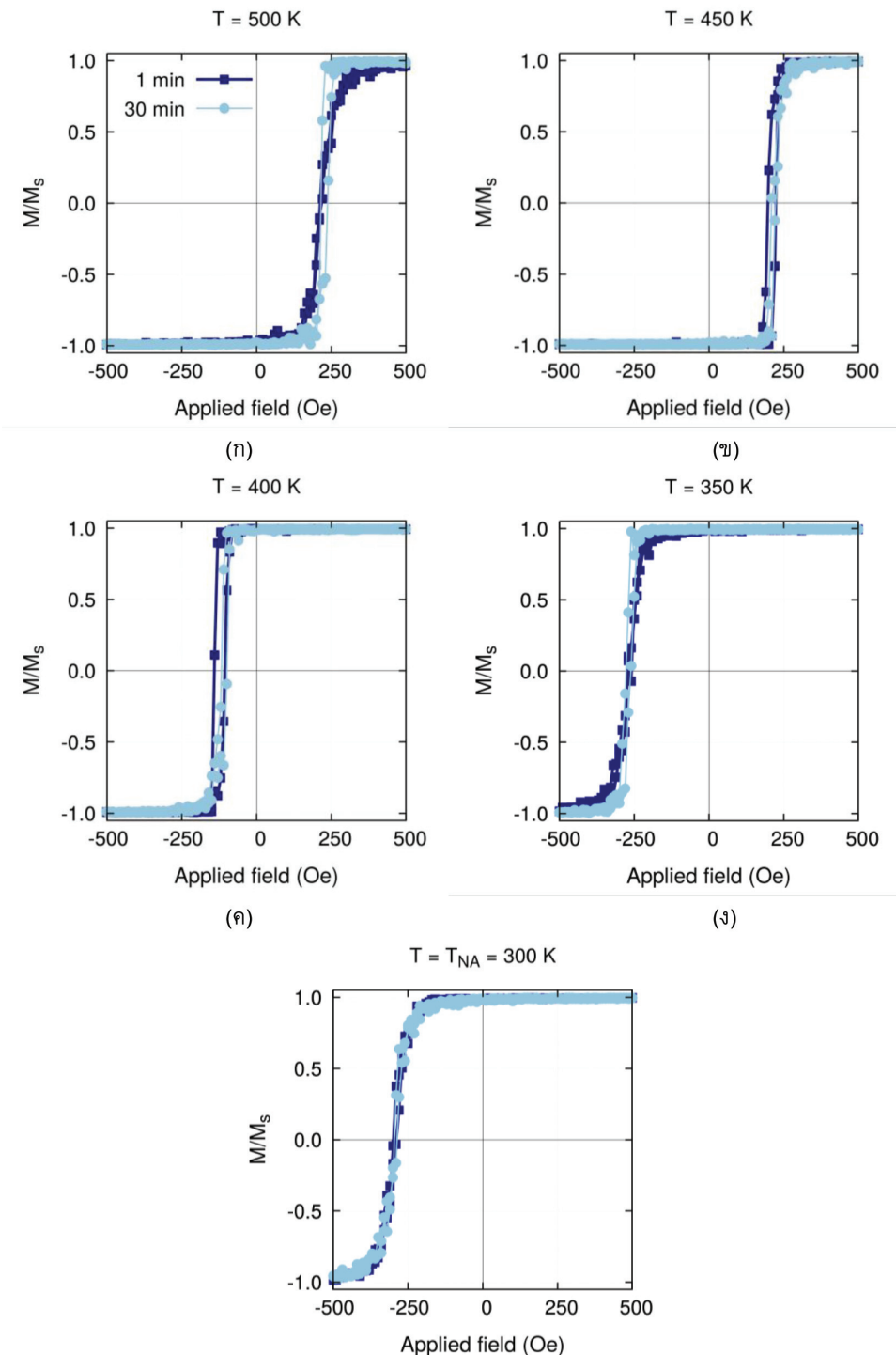
พารามิเตอร์	ชนิดของวัสดุ	
	AF	FM
ความกว้างของระบบในแนวแกน x (nm)	250	250
ความยาวของระบบในแนวแกน y (nm)	250	250
ค่ากลางของขนาดของเกรนแม่เหล็ก D_m (nm)	8	8
ค่าการกระจายตัวของขนาดของเกรน σ_{Ind}	0.2 [13]	0.2 [13]
ระยะห่างระหว่างเกรนแม่เหล็ก (nm)	0.1	0.1
ความหนาของชั้นฟิล์ม t_{film} (nm)	8	4

ในการศึกษานี้จะได้เลือกใช้วัสดุอิริดียมแมงกานีส (Iridium Manganese, IrMn) และวัสดุ โคบัลต์ไอรอน (Cobalt Iron, CoFe) ซึ่งมีคุณสมบัติเป็นวัสดุ AF และวัสดุ FM ตามลำดับ เนื่องจากวัสดุทั้งสองประเภทถูกนำมาใช้เพื่อสร้างเป็นชั้นอ้างอิงภายในหัวอ่านข้อมูลสำหรับเทคโนโลยีฮาร์ดดิสก์ไดร์ฟ ในปัจจุบัน [2] โดยค่าพารามิเตอร์ทางแม่เหล็กพื้นฐานของวัสดุ IrMn และวัสดุ CoFe ได้แก่ ค่าอุณหภูมิวิกฤต (critical temperature, T_c) ค่าแมgnน์ไซเซชันอิมตัว (saturation magnetization, M_s) และค่าคงที่แอนไโอโซโทรีปี (anisotropy constant, K_U) รวมไปถึงปริมาณความแรงสนามแลกเปลี่ยนระหว่างชั้นวัสดุ (exchange interlayer field strength, H_{ex}^{int} เป็นต้น ถูกสรุปไว้ดังตารางที่ 2

ตารางที่ 2 ค่าพารามิเตอร์ทางแม่เหล็กของชั้นวัสดุ IrMn และชั้นวัสดุ CoFe

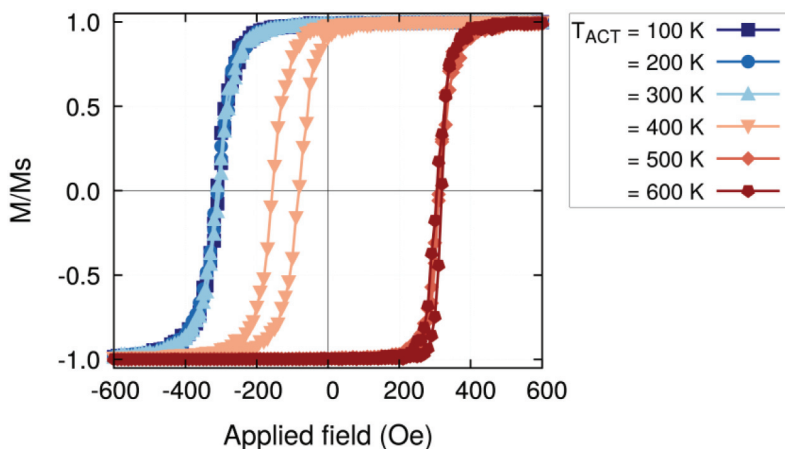
พารามิเตอร์	ชนิดของวัสดุ	
	IrMn	CoFe
ค่าอุณหภูมิวิกฤติ T_c (K)	690 [14]	1300 [14]
ค่าคงที่แอนไอโอโซโตรปี K_u (erg/cc)	5.56×10^6 [15]	1.8×10^5 [12]
ค่าแมกนีไฟเซชันอิมต้า M_s (emu/cc)	1800 [12]	1800 [12]
ความแรงสนามแม่เหล็กเปลี่ยนระห่ำชั้นวัสดุ H_{ex}^{int} (Oe)	500	500

ภายหลังจากที่สามารถจำลองโครงสร้างชั้นวัสดุ IrMn และชั้นวัสดุ CoFe ซึ่งมีค่าพารามิเตอร์ทางโครงสร้างและค่าพารามิเตอร์ทางแม่เหล็กแสดงดังตารางที่ 1 และตารางที่ 2 ได้ จากนั้นจะทำการพิจารณาหาค่าอุณหภูมิที่ไม่มีผลกระทบทางความร้อนเข้ามาเกี่ยวข้อง T_{NA} โดยทำการคำนวณลูปวงปิด อิสเทอร์ริชของโครงสร้างชั้นใบอัลลอยแม่เหล็กเปลี่ยน IrMn/CoFe ณ อุณหภูมิ T ใดๆ ตามขั้นตอนการพิจารณาหาค่าอุณหภูมิที่ไม่มีผลกระทบทางความร้อนเข้ามาเกี่ยวข้องดังที่ได้กล่าวมายังไร้ผลในหัวข้อวิธีการทดลอง รูปที่ 4 แสดงตัวอย่างการพิจารณาหาค่าอุณหภูมิ T_{NA} จากการคำนวณลูปวงปิดอิสเทอร์ริชของโครงสร้างชั้นใบอัลลอยแม่เหล็กเปลี่ยน IrMn/CoFe ที่อุณหภูมิ T ใดๆ ตั้งแต่ $T = 500$ เคลวิน ซึ่งกำหนดให้มีค่าลดลงครั้งละ 50 เคลวิน จนถึง 300 เคลวิน และดังรูปที่ 4 (ก)-(จ) ตามลำดับ โดยทำการเบรย์มเทียบกันด้วยเวลาการให้สนามแม่เหล็กภายนอกในทิศทาง $-H$ เท่ากับ 1 นาที และ 30 นาที เมื่อพิจารณาลักษณะของลูปวงปิดอิสเทอร์ริชของโครงสร้างชั้นใบอัลloyแม่เหล็กเปลี่ยน IrMn/CoFe ที่อุณหภูมิ $T = 500$ เคลวิน ในรูปที่ 4(ก) พบว่าลูปวงปิดอิสเทอร์ริชจะมีการเคลื่อนที่ออกจากแนวแกนสมมาตรไปตามแกนสนามแม่เหล็กภายนอกในทิศทางบวก $+H$ และจะเห็นได้ว่าลูปวงปิดอิสเทอร์ริชสูญเสียหนึ่งและลูปที่สองยังไม่เกิดการซ้อนทับกัน จากนั้นเมื่อลดอุณหภูมิของระบบลงครั้งละ 50 เคลวิน พบว่าลูปวงปิดอิสเทอร์ริชจะมีการเคลื่อนที่กลับเข้าสู่แนวแกนสมมาตรและเคลื่อนที่ออกจากแนวแกนสมมาตรไปตามแกนสนามแม่เหล็กภายนอกในทิศทางบวก $-H$ ตามการลดลงของอุณหภูมิ T โดยพบว่าอุณหภูมิในการคำนวณที่ทำให้ลูปวงปิดอิสเทอร์ริชสัมผัสรูปเกิดการซ้อนทับกัน กล่าวคือ ลูปวงปิดอิสเทอร์ริชที่สามารถคำนวณได้ทั้งสองลูปมีปริมาณสนามเดือดรอร์ชิตติในทางด้านซ้ายและทางด้านขวาเท่ากัน มีค่าเท่ากับ $T = 300$ เคลวิน และดังรูปที่ 4(จ) ดังนั้นในขั้นตอนการคำนวณลูปวงปิดอิสเทอร์ริชของโครงสร้างชั้นใบอัลloyแม่เหล็กเปลี่ยน IrMn/CoFe ที่แต่ละค่าอุณหภูมิการกระตุ้น T_{ACT} สำหรับกรณีคีกขานี้จะได้กำหนดค่าอุณหภูมิในการคำนวณลูปวงปิดอิสเทอร์ริช ให้มีค่าเท่ากับ $T_{NA} = 300$ เคลวิน เพื่อให้สามารถกำหนดผลผลกระทบจากการกระตุ้นทางความร้อนต่อแมกนีไฟเซชันในชั้น AF และคำนวณปริมาณ H_{EB} และ T_B ของโครงสร้างชั้นใบอัลloyแม่เหล็กเปลี่ยน IrMn/CoFe ที่ถูกคีกขานในงานวิจัยนี้ได้



รูปที่ 4 ตัวอย่างการพิจารณาหาค่าอุณหภูมิ T_{NA} จากการคำนวณคุณปีดีชีสเทอร์รีซึสของโครงสร้างชั้นในอัลลอยเดเพลี่ยน IrMn/CoFe ที่อุณหภูมิใดๆ (ก) $T = 500$ เคลวิน (ข) $T = 450$ เคลวิน (ค) $T = 400$ เคลวิน (ง) $T = 350$ เคลวิน และ (จ) $T = 300$ เคลวิน ตามลำดับ

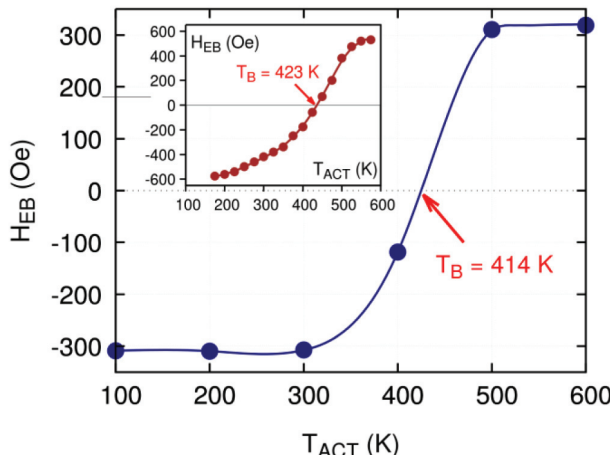
เมื่อสามารถพิจารณาค่าอุณหภูมิ T_{NA} ได้เท่ากับ 300 เคลวิน ในลำดับต่อไปจึงทำการคำนวณลู่ปวงปิดอิสเทอร์รีซีสที่ค่าอุณหภูมิ T_{ACT} ไดๆ เพื่อนำไปใช้สำหรับการคำนวณค่าสนามในอัลลอกเปลี่ยน H_{EB} ในลักษณะฟังก์ชันของค่าอุณหภูมิ T_{ACT} ซึ่งจะนำไปสู่การพิจารณาหาค่ากลางของอุณหภูมิก็ต้น T_B ของโครงสร้างชั้นในอัลลอกเปลี่ยน IrMn/CoFe ที่มีความถูกต้องได้ รูปที่ 5 แสดงผลการคำนวณลู่ปวงปิดอิสเทอร์รีซีสของชั้นในอัลลอกเปลี่ยน IrMn/CoFe ในกรณีที่มีการเปลี่ยนแปลงของค่าอุณหภูมิ T_{ACT} ตั้งแต่ 100 เคลวิน ถึง 600 เคลวิน โดยมีค่าเพิ่มขึ้นครั้งละ 100 เคลวิน โดยจะเห็นได้ว่าในกรณีที่ค่าอุณหภูมิ T_{ACT} มีค่าเท่ากับ 100 เคลวิน ลู่ปวงปิดอิสเทอร์รีซีสจะเคลื่อนที่ออกจากแนวแกนสมมาตรไปในทิศทาง $-H$ และเมื่อค่าอุณหภูมิ T_{ACT} มีค่าเพิ่มขึ้นพบว่าลู่ปวงอิสเทอร์รีซีสจะมีแนวโน้มการเคลื่อนที่กลับเข้าสู่แนวแกนสมมาตรและเคลื่อนที่ออกจากแนวแกนสมมาตรไปในทิศทาง $+H$ สาเหตุเนื่องจากการเพิ่มขึ้นของค่าอุณหภูมิการกระตุ้น T_{ACT} ส่งผลทำให้แมgnีไฟเซชันในชั้น IrMn เกิดการกลับทิศทางไปในทิศตรงกันข้ามกับทิศทางเริ่มต้น



รูปที่ 5 ตัวอย่างการคำนวณลู่ปวงปิดอิสเทอร์รีซีสเมื่อมีการเปลี่ยนแปลงของค่าอุณหภูมิ T_{ACT} ตั้งแต่ 100 เคลวิน ถึง 600 เคลวิน โดยมีค่าเพิ่มขึ้นครั้งละ 100 เคลวิน

ผลการคำนวณลู่ปวงปิดอิสเทอร์รีซีสที่ค่าอุณหภูมิ T_{ACT} ไดๆ ดังแสดงในรูปที่ 5 นำไปสู่การพิจารณาหาปริมาณสนามในอัลลอกเปลี่ยนที่แต่ละค่าอุณหภูมิ T_{ACT} ทำให้สามารถพล็อตกราฟความล้มพังของปริมาณสนามในอัลลอกเปลี่ยน H_{EB} ในลักษณะฟังก์ชันของค่าอุณหภูมิ T_{ACT} ได้ดังแสดงในรูปที่ 6 จากราฟความล้มพังนี้ถักกว่าจะเห็นได้ว่าในกรณีที่อุณหภูมิ T_{ACT} มีค่าต่ำ ปริมาณ H_{EB} จะมีค่าติดลบและมีการเปลี่ยนแปลงไปเป็นค่าบวกเมื่ออุณหภูมิ T_{ACT} มีค่าเพิ่มสูงขึ้น เนื่องจากแมgnีไฟเซชันของชั้นวัสดุแอนติเฟอร์โรแมกнетิกที่ได้รับการกระตุ้นด้วยค่าอุณหภูมิ T_{ACT} มีแนวโน้มการเปลี่ยนแปลงทิศทางตามสนามแม่เหล็กภายนอก สำหรับค่าอุณหภูมิก็ต้น T_B ของระบบจะสามารถพิจารณาได้จากจุดตัดแกน x หรือค่าอุณหภูมิ T_{ACT} ที่ส่งผลทำให้ปริมาณสนามในอัลลอกเปลี่ยน H_{EB} ของโครงสร้างชั้นในอัลลอกเปลี่ยน IrMn/CoFe มีค่าเท่ากับศูนย์ กล่าวคือ $H_{EB} = 0$ ดังนั้นจึงสามารถสรุปได้ว่าโครงสร้างชั้นในอัลลอกเปลี่ยน IrMn/CoFe ที่มีค่าพารามิเตอร์ทางโครงสร้างและค่าพารามิเตอร์ทางแม่เหล็กแสดงดังตารางที่ 1 และ

ตารางที่ 2 ตามลำดับ ซึ่งถูกใช้สำหรับการศึกษาในงานวิจัยนี้มีค่าอุณหภูมิกิดกัน T_B เท่ากับ 414 เคลวิน ซึ่งให้ค่าที่ใกล้เคียงกับผลการทดลองวัดค่าอุณหภูมิกิดกัน T_B ในโครงสร้างชั้นใบอัลลอยเปลี่ยน NiFe(30nm)/Ru(1nm)/IrMn(6nm)/CoFe(5nm)/Ta(3nm) ด้วยวิธีการயอร์คโดย G. Vallejo-Fernandez และคณะ [14, 15] ดังแสดงในรูปด้านใน (inset) ของรูปที่ 6 ซึ่งพบว่าสามารถวัดค่าอุณหภูมิกิดกัน T_B เท่ากับ 423 เคลวิน จากผลการศึกษาแสดงให้เห็นว่าโครงสร้างชั้นใบอัลลอยเปลี่ยนที่ถูกออกแบบตามเงื่อนไขที่กำหนดในงานวิจัยนี้จะคงมีเสถียรภาพทางความร้อนและสามารถนำมาระบุตัวให้จิงในโครงสร้างหัวอ่านข้อมูลอาร์ดิสก์ไดร์ฟอย่างมีประสิทธิภาพเมื่ออุณหภูมิของระบบมีค่าต่ำกว่า 414 เคลวิน ซึ่งมีค่าสูงกว่าอุณหภูมิการทำงานของหัวอ่านข้อมูลอาร์ดิสก์ไดร์ฟในช่วงประมาณ 300–400 เคลวิน [16] อย่างไรก็ตาม เมื่ออุณหภูมิของระบบมีค่ามากกว่า 414 เคลวิน จะส่งผลทำให้โครงสร้างชั้นใบอัลลอยเปลี่ยน IrMn/CoFe ดังกล่าวขาดเสถียรภาพทางความร้อนเนื่องจากแมgnีไฟเซ็นของชั้นวัสดุแอนติเฟอร์โรแมกнетิกไม่สามารถยึดทิศทางของแมgnีไฟเซ็นของชั้นวัสดุเฟอร์โรแมกเนติกไว้ได้



รูปที่ 6 ปริมาณ H_{EB} เมื่อมีการเปลี่ยนแปลงของค่าอุณหภูมิ T_{ACT} ตั้งแต่ 100 เคลวิน ถึง 600 เคลวิน โดยมีค่าเพิ่มขึ้นครึ่งละ 100 เคลวิน และรูปด้านในแสดงปริมาณ H_{EB} เมื่อมีการเปลี่ยนแปลงของค่าอุณหภูมิ T_{ACT} จากผลการทดลอง [14-15]

สรุปและวิจารณ์ผลการทดลอง

ในงานวิจัยนี้ได้ทำการพัฒนาและนำเสนอแบบจำลองโครงสร้างทางแม่เหล็กระดับจุลภาคแบบกรนูลาร์เลื่อนจริงของโครงสร้างชั้นใบอัลลอยเปลี่ยนซึ่งเป็นองค์ประกอบสำคัญในหัวอ่านข้อมูลอาร์ดิสก์ไดร์ฟ แบบจำลองที่ถูกนำเสนอขึ้นได้รับการพัฒนาให้สามารถจำลองขั้นตอนการคำนวณลูปวงปิดฮิสเทอเรชีส ตามวิธีการຍอร์คเพื่อประยุกต์ใช้สำหรับการทำนายปริมาณ H_{EB} และ T_B ซึ่งนำไปสู่การพิจารณาเสถียรภาพทางความร้อนของโครงสร้างชั้นใบอัลลอยเปลี่ยน IrMn/CoFe โดยพลวัตของแมgnีไฟเซ็นภายในชั้น IrMn ซึ่งมีคุณสมบัติเป็นวัสดุแอนติเฟอร์โรแมกเนติกและชั้น CoFe ซึ่งมีคุณสมบัติเป็นวัสดุเฟอร์โรแมกเนติกถูกอธิบายด้วยวิธีการมอนติคาร์โลเชิงจลน์และสมการแลนดอร์-ลิฟชิตช์-กิลเบิร์ต ตามลำดับ จากผล

การศึกษาในเบื้องต้นพบว่าแบบจำลองที่ถูกนำเสนอขึ้นสามารถคำนวณปริมาณสนามไปอัลแลกเปลี่ยนและค่าอุณหภูมิกิดกันจากรูปแบบจำลองได้สอดคล้องกับผลการทดลอง นอกจากนี้ยังพบว่าโครงสร้างชั้นใบอัลแลกเปลี่ยนอิฐเดี่ยมแมงกานีสเชื่อมติดกับวัสดุโคนบล็อกเรอนที่มีขนาดความหนาของชั้นฟิล์มเท่ากัน 8 นาโนเมตรและ 4 นาโนเมตร ถูกพบว่ามีเสถียรภาพทางความร้อนเมื่ออุณหภูมิของระบบมีค่าต่ำกว่า 414 เคลวิน ซึ่งเป็นค่าอุณหภูมิกิดกันของระบบ

เอกสารอ้างอิง

1. Meiklejohn, W. H., & Bean, C. P. (1956). New magnetic anisotropy. *Physics Review*, 102(3), 1413-1414.
2. O'grady, K., Fernandez-Outon, L. E., & Vallejo-Fernandez, G. (2010). A new paradigm for exchange bias in polycrystalline thin films. *Journal of Magnetism and Magnetic Materials*, 322(8), 883-899.
3. Craig, B., Lamberton, R., Johnston, A., Nowak, U., Chantrell, R. W., & O'Grady, K. (2008). A model of the temperature dependence of exchange bias in coupled ferromagneticantiferromagnetic bilayers. *Journal of Applied Physics*, 103(7), 07C102.
4. Vallejo-Fernandez, G., & Chapman, J. N. (2010). Thermal stability of exchange bias nanostructures. *Journal of Applied Physics*, 107(9), 09D704.
5. Fernandez-Outon, L. E., O'Grady, K., & Carey, M. J. (2004). Thermal phenomena in IrMn exchange biased systems. *Journal of Applied Physics*, 95(11), 6852-6854.
6. Vallejo-Fernandez, G., & Chapmam, J. N. (2009). Size effects in submicron exchange bias square elements. *Applied Physics Letter*, 94(26), 262508.
7. Carpenter, R., Vick, A. J., Hirohata, A., Vallejo-Fernandez, G., & ÓGrady, K. (2014). Effect of grain cutting in exchange biased nanostructures. *Journal of Applied Physics*, 115(17), 17B905.
8. Tannous, C., & Gieraltowski, J. (2008). The Stoner-Wohlfarth model of ferromagnetism. *European Journal of Physics*, 29(3), 475-487.
9. Pfeiffer, H. (1990). Determination of anisotropy field distribution in particles assemblies taking into account thermal fluctuations. *Physica Status Solidi*, 118(1), 295-306.
10. El-Hilo, M., O'Grady, K., Chantrell, R. W., & Dickson, D. P. E. (1993). Time dependent magnetisation in systems with distributed energy barriers. *Journal of Magnetism and Magnetic Materials*, 123(1-2), 30-34.
11. Chantrell, R. W., Walmsley, N., Gore, J., & Maylin, M. (2001). Calculations of the susceptibility of interacting superparamagnetic particles. *Physics Review B: Condensed Matter Mater Physics*, 63(2), 1-14.

12. Daeng-am, W., Chureemart, P., Rittidech, A., Atkinson, L. J., Chantrell, R. W., & Chureemart, J. (2019). Micromagnetic model of exchange bias: effects of structure and AF easy axis dispersion for IrMn/CoFe bilayers. *Journal of Physics D: Applied Physics*, 53(4), 045002.
13. Aley, N. P., Vallejo-Fernandez, G., Kroeger, R., Lafferty, B., Agnew, J., Lu, Y., & O'Grady, K. (2008). Texture effects in IrMn/CoFe exchange bias systems. *IEEE Transactions on Magnetics*, 44(11), 2820-2823.
14. Vallejo-Fernandez, G., Fernandez-Outon, L. E., & O'Grady, K. (2008). Antiferromagnetic grain volume effects in metallic polycrystalline exchange bias systems. *Journal of Physics D: Applied Physics*, 41(11), 112001-115507.
15. Vallejo-Fernandez, G., Deakin, T., O'Grady, K., Oh, S., Leng, Q., & Pakala, M. (2010). Measurement of the antiferromagnet activity in exchange bias systems. *Journal of Applied Physics*, 107(9), 09D709.
16. Milyaev, M. A., Naumova, L. I., Proglyado, V. V., Chernyshova, T. A., Blagodatkov, D. V., Kamenskii, I. Y., & Ustinov, V. V. (2015). Thermal stability of spin valves based on a synthetic antiferromagnet and Fe₅₀Mn₅₀ alloy. *The Physics of Metals and Metallography*, 116(11), 1073-1079.